

УДК 599.323.4-14

## ОДОНТОЛОГИЧЕСКИЕ ПРИЗНАКИ ОБЫКНОВЕННОЙ (*MICROTUS ARVALIS*) И ВОСТОЧНОЕВРОПЕЙСКОЙ (*M. ROSSIAEMERIDIONALIS*) ПОЛЕВОК УРАЛЬСКОГО РЕГИОНА И ИХ ДИАГНОСТИЧЕСКОЕ ЗНАЧЕНИЕ

© 2003 г. Е. А. Маркова, А. В. Бородин, Э. А. Гилева

Институт экологии растений и животных УрО РАН, Екатеринбург 620144

Поступила в редакцию 22.08.2002 г.

На примере переднего нижнего щечного зуба ( $M_1$ ) изучены одонтологические признаки видов-двойников *Microtus arvalis* Pallas 1779 (кариоформа “obscurus”) и *M. rossiaemeridionalis* Ognev 1924 из природных популяций с территории Среднего и Южного Урала. Зубные параметры оценивались по оцифрованным изображениям. Использованы морфотипический подход и анализ мерных признаков с применением методов многомерной статистики. В ходе морфотипического анализа не выявлены видоспецифичные варианты строения  $M_1$ , однако в процентном отношении различных вариаций обнаружены межвидовые различия: у восточноевропейской полевки доля усложненных морфотипов выше, чем у обыкновенной полевки (34 и 9.2% соответственно). Количественную оценку размеров и конфигурации  $M_1$  проводили по 16 признакам. Результаты факторного и кластерного анализа показали, что в строении  $M_1$  видов-двойников проявляются межвидовые различия, уровень которых превышает различия между выборками одного вида из географически удаленных один от другого локалитетов. Применение шагового дискриминантного анализа позволяет использовать комплекс одонтометрических характеристик  $M_1$  для диагностики *M. arvalis* (форма “obscurus”) и *M. rossiaemeridionalis* с точностью 75–87%.

Феномен хромосомных видов-двойников представляет существенный интерес в связи с проблемой несогласованности темпов геномной и морфологической эволюции. Уже ставшие классическими труды отечественных териологов (Мейер и др., 1969; Малыгин, 1983; Обыкновенная полевка, 1994) продемонстрировали перспективность видов-двойников из группы *Microtus arvalis* как объектов эволюционных исследований. В генетическом отношении обыкновенная (*Microtus arvalis* Pallas 1779) и восточноевропейская (*M. rossiaemeridionalis* Ognev 1924) полевки заметно дивергировали: их хромосомные наборы обнаруживают высокую степень дифференциации как при рутинном, так и при G-окрашивании, а гибриды первого поколения бесплодны (Мейер и др., 1969; Малыгин, 1983; Гилева и др., 1999). Между ними имеются и фиксированные различия по локусу гемоглобина, которые могут быть выявлены электрофоретическим методом и которые позволяют идентифицировать виды-двойники (Доброхотов, Малыгин, 1982). В то же время для *M. arvalis* и *M. rossiaemeridionalis* характерно практически полное сходство экзофенотипических характеристик: диагностировать их с помощью отдельных морфологических признаков, традиционно используемых в систематике, не удается. В ряде работ для этой цели были успешно применены методы многомерного статистического анализа.

Так, линейный дискриминантный анализ позволяет дифференцировать обыкновенную и восточноевропейскую полевку по экстерьерным и краниометрическим признакам с точностью 73–81% (Малыгин и др., 1996), а также по комплексу размеров тела, черепа и зубной системы – с точностью 78–84% (Мейер, Дитятев, 1989).

Выбор признаков, использованных в цитированных выше работах, осуществлялся с позиции описания морфологии рецентных форм. Такие признаки не всегда доступны, в частности при диагностике ископаемого и субфоссильного материала, когда ведущая роль принадлежит зубной системе, поскольку именно зубы лучше всего сохраняются в ископаемом состоянии. Для полевок разработана методология таксономической диагностики на основании как качественных, так и метрических признаков зубной системы, и именно на основании изучения зубов базируются современные представления о филиации полевок (Агаджанян, Яценко, 1984; Смирнов и др., 1986; Chaline, 1980; Rabeder, 1981). Для большинства представителей рода *Microtus* наибольшее диагностическое значение имеет передний нижний щечный зуб  $M_1$  (Громов, Поляков, 1977; Кочев, 1986 и др.).

Эффективность морфометрических исследований в настоящее время значительно возросла благодаря развитию систем цифровой обработки

изображения и появлению специальных компьютерных программ (Павлинов, 2001; Dean, 1996). Успешно используются эти подходы и при анализе изменчивости коренных зубов полевок (Павлинов, 1999). Применение систем цифровой обработки изображения при изучении одонтологических параметров видов-двойников обыкновенных полевок представляется особенно перспективным, поскольку позволяет расширить возможности выбора признаков для многомерного анализа. В частности, при описании конфигурации жевательной поверхности могут быть использованы промеры, оценка которых традиционными методами (с помощью окуляр-микрометра) невозможна.

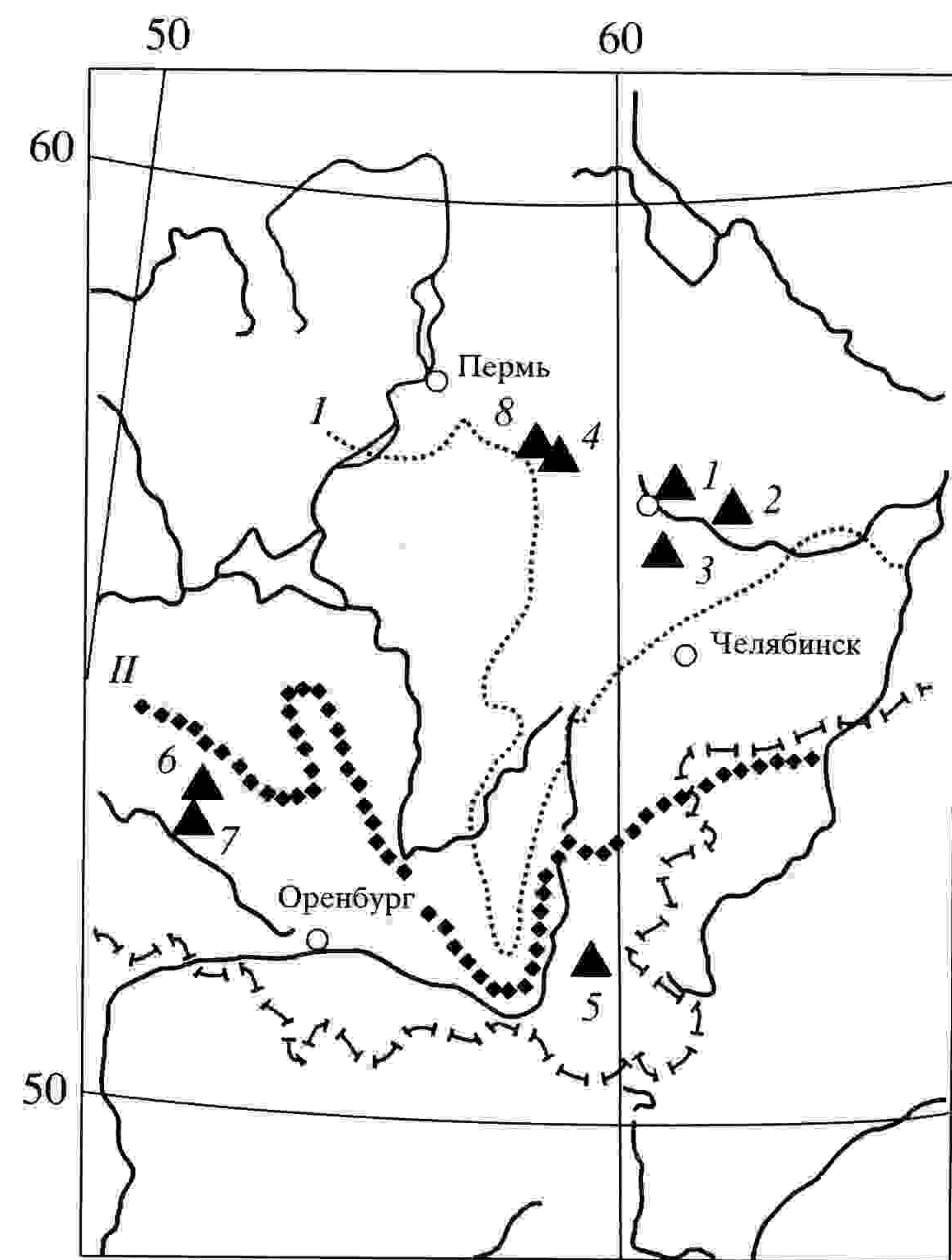
В настоящей работе рассматриваются характеристики зубов recentных видов-двойников обыкновенной полевки, полученные с помощью компьютерных технологий на основе методологии, принятой для описания палеонтологического материала. Целью работы является оценка степени морфологической дифференциации *M. arvalis* и *M. rossiaemeridionalis* по признакам зубной системы (на примере  $M_1$ ) и возможности использования одонтологических характеристик для видовой диагностики.

## МАТЕРИАЛ И МЕТОДИКА

В работе проанализированы 458 правых и левых передних нижних коренных зубов ( $M_1$ ), принадлежащих 229 особям из 8 местностей Южного и Среднего Урала (рис. 1).

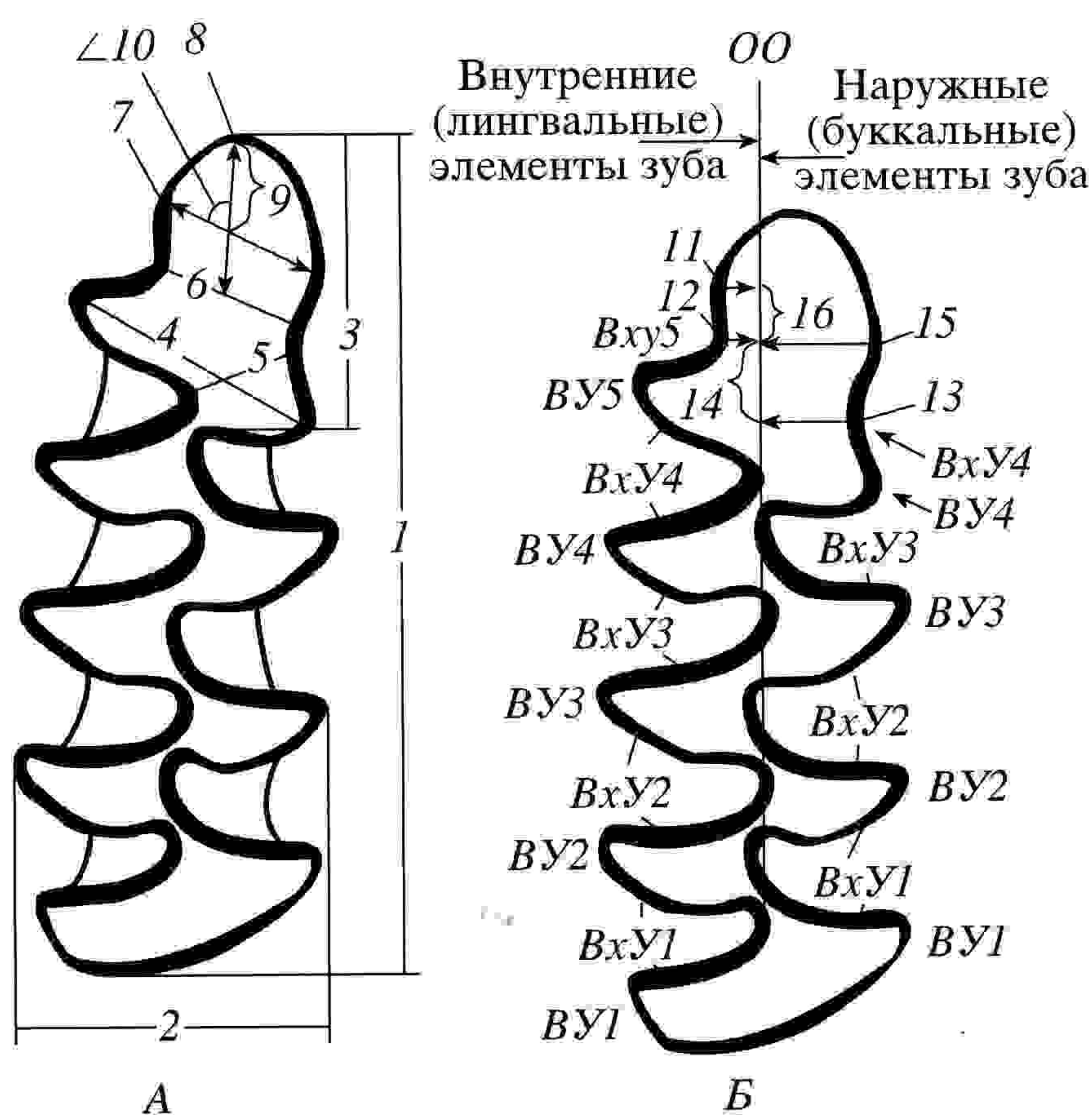
Видовая принадлежность животных была определена цитогенетическим методом. Все *M. arvalis* sensu stricto принадлежали к форме "obscurus" ( $2n = 46$ ,  $NF_A = 68$ ).

При оценке конфигурации жевательной поверхности  $M_1$  использован как морфотипический подход, так и анализ мерных признаков. Морфотипическая изменчивость рассматривалась на основании вариаций строения передней непарной петли, описанных Ереминой (1974) для *M. arvalis* sensu lato. В ходе морфометрического анализа использовали как стандартные промеры, так и оригинальные признаки, выбор которых производили с учетом предварительного анализа морфотипической изменчивости. Оценивали 16 мерных признаков (рис. 2): 1 – максимальная длина жевательной поверхности; 2 – максимальная ширина жевательной поверхности; 3 – длина передней непарной петли параконида (ПНП); 4 – косая ширина основания ПНП; 5 – минимальное расстояние от эмалевой грани, соответствующей 4-му наружному ВхУ до вершины 4-го внутреннего ВхУ; 6 – ширина "шейки" ПНП; 7 – максимальная косая ширина головки ПНП; 8 – расстояние от центра отрезка, соответствующего промеру 6, до наиболее удаленной точки контура головки ПНП; 9 –



**Рис. 1.** Местоположение точек отлова животных. Средний Урал: 1 – Екатеринбург, 56°48' с.ш., 60°40' в.д. (*M. rossiaemeridionalis*); 2 – Байны, 56°42' с.ш., 62°08' в.д. (*M. arvalis*, *M. rossiaemeridionalis*); 3 – Двуреченск, 56°37' с.ш., 61°08' в.д. (*M. arvalis*); 4 – Шаля, 57°17' с.ш., 58°45' в.д. (*M. arvalis*). Южный Урал: 5 – Аркаим, 52°37' с.ш., 59°33' в.д. (*M. arvalis*); 6 – Кристалка, 53°00' с.ш., 53°28' в.д. (*M. arvalis*, *M. rossiaemeridionalis*); 7 – Старобогдановка, 52°46' с.ш., 53°53' в.д. (*M. rossiaemeridionalis*); 8 – Шигаево, 57°20' с.ш., 58°40' в.д. (*M. arvalis*). I – южная граница таежной зоны, II – северная граница степной зоны (по: Горчаковский, 1968).

длина части отрезка, соответствующего промеру 8, лежащей после пересечения с отрезком 7; 10 – передне-внутренний угол между отрезками 7 и 8; 11 – наименьшее расстояние от наружного края эмали внутренней части головки ПНП до основной оси зуба; 12 – наименьшее расстояние от вершины 5-го внутреннего ВхУ до основной оси зуба; 13 – наименьшее расстояние от вершины 4-го наружного ВхУ до основной оси зуба; 14 – расстояние между точками, соответствующими проекциям вершин 5-го внутреннего и 4-го наружного ВхУ на основную ось зуба; 15 – наименьшее расстояние от наружной части головки ПНП до основной оси зуба; 16 – расстояние между точками, соответствующими проекциям наружной и внутренней части головки ПНП на основную ось зуба. Признаки 11 и 12 могут принимать как положительные, так и отрицательные значения: положение структуры "снаружи" от основной оси зуба соответствует положительным значениям промера, "внутри" – отрицательным.



**Рис. 2.** Номенклатура жевательной поверхности и схема промеров  $M_1$  группы *Microtus arvalis*:  $BxU1$ - $BxU5$  – входящие углы;  $VU1$ - $VU5$  – выступающие углы;  $OO$  – основная ось зуба;  $A$  – основные промеры,  $B$  – промеры, проводившиеся относительно  $OO$ . 1 – максимальная длина жевательной поверхности; 2 – максимальная ширина жевательной поверхности; 3 – длина передней непарной петли параконида (ПНП); 4 – косая ширина основания ПНП; 5 – минимальное расстояние от эмалевой грани, соответствующей 4-му наружному  $BxU$  до вершины 4-го внутреннего  $BxU$ ; 6 – ширина “шейки” ПНП; 7 – максимальная косая ширина головки ПНП; 8 – расстояние от центра отрезка, соответствующего промеру 6, до наиболее удаленной точки контура головки ПНП; 9 – длина части отрезка, соответствующего промеру 8, лежащей после пересечения с отрезком 7; 10 – передне-внутренний угол между отрезками 7 и 8; 11 – наименьшее расстояние от наружного края эмали внутренней части головки ПНП до основной оси зуба; 12 – наименьшее расстояние от вершины 5-го внутреннего  $BxU$  до основной оси зуба; 13 – наименьшее расстояние от вершины 4-го наружного  $BxU$  до основной оси зуба; 14 – расстояние между точками, соответствующими проекциям вершин 5-го внутреннего и 4-го наружного  $BxU$  на основную ось зуба; 15 – наименьшее расстояние от наружной части головки ПНП до основной оси зуба; 16 – расстояние между точками, соответствующими проекциям наружной и внутренней части головки ПНП на основную ось зуба.

При описании элементов жевательной поверхности  $M_1$  использована стандартная терминология (Громов, Поляков, 1977).

Анализ одонтометрических параметров проводили с использованием систем цифровой обработки изображения. Жевательную поверхность щечных зубов фотографировали с помощью цифровой камеры Nikon Coolpix 990 через окуляр микроскопа МБС-10 при постоянном увеличении

×2. В процессе фотографирования большое внимание уделяли унификации установки зуба на предметном столике по отношению к оптической оси бинокуляра таким образом, чтобы жевательная поверхность была выровнена по горизонтали.

Измерения проводили с помощью программы ScionImage для Windows, версия Beta3b (© 1998 Scion Corporation), с точностью до 0.01 мм. Каждое измерение проводили не менее двух раз, результаты усредняли. Для статистической обработки результатов измерений использовали пакеты прикладных программ Statistica 5.5 для Windows, а также NTSYSpc 1.4.

Принимая во внимание априори, что между рассматриваемыми видами имеются лишь небольшие различия, а абсолютные значения некоторых выбранных признаков малы, мы оценили значимость вклада фактора повторной оцифровки в общую изменчивость каждого из 16 признаков с помощью дисперсионного анализа, кроме того, определили воспроизводимость результатов измерений на усеченной выборке. Для 98  $M_1$  обоих видов были получены по два изображения, каждое из которых измеряли в двух повторностях. Результаты повторных измерений каждого снимка усредняли. Воспроизводимость оценивали как отношение меньшего значения признака к большему и выражали в процентах. У разных признаков этот показатель составил от 84.1 до 99.96%, в среднем – 98%. В то же время дисперсионный анализ (факторы: “особь” и “снимок”, смешанная модель) выявил значимый вклад фактора “снимок” в общую изменчивость по 11 признакам из 16. Доля дисперсии, приходящаяся по этим признакам на фактор “снимок”, составила в среднем 5%, что, наряду с данными по воспроизводимости результатов, позволило ограничиться получением одного изображения для остального материала. Более подробно проблема воспроизводимости результатов морфометрического анализа зубов полевок по цифровым изображениям будет обсуждаться в отдельном сообщении.

В ходе анализа изменчивости  $M_1$  видов-двойников данные по правым и левым зубам были объединены, поскольку применение парного  $t$ -критерия не выявило достоверных различий между средними значениями мерных признаков на правой и левой стороне как в целом для каждого вида, так и в пределах отдельных выборок ( $P = 0.130$ -0.990). Различия в соотношении долей встречаемости морфотипов для правой и левой сторон у обоих видов также недостоверны как у обыкновенной ( $\chi^2 = 5.75$ ,  $df = 4$ ,  $P = 0.0593$ ), так и у восточноевропейской ( $\chi^2 = 6.365$ ,  $df = 4$ ,  $P = 0.0503$ ) полевок.

При оценке возраста животных использовали методические указания Башениной (1953), а также Лариной и Лапшова (1974). У всех животных,

включенных в анализ, жевательная поверхность последнего верхнего коренного зуба ( $M^3$ ) имеет очертания, типичные для животных старше 15–17 дней (Башенина, 1953). По степени структурированности (зрелости) черепа (Ларина, Лапшов, 1974) были выделены две условные возрастные группы: I – молодые животные (до 55% зрелости черепа), II – зрелые (60–100% зрелости черепа). Для контроля использованы черепа полевок из лабораторных колоний, календарный возраст которых был точно известен. Связь скульптурированности черепа с календарным возрастом оценивалась с помощью коэффициента ранговой корреляции Спирмена, который оказался высок у обоих видов:  $R_s = 0.89$  для обыкновенной ( $N = 23$ ) и  $R_s = 0.94$  для восточноевропейской полевки ( $N = 43$ ).

Изученные выборки достоверно различаются по возрастной структуре ( $\chi^2 = 35.06$ ,  $df = 9$ ,  $P = 0.0001$ ). Возрастной состав выборок представлен в табл. 1. В целом доля молодых особей у восточноевропейской полевки составляет 22%, тогда как у обыкновенной молодые животные преобладают (59%). Для того чтобы исключить возможное влияние фактора возраста на результаты межвидовых сравнений, сопоставление одонтологических параметров проводили как в целом для видов, так и по возрастным классам.

## РЕЗУЛЬТАТЫ И ОБСУЖДЕНИЕ

Основные методы оценки одонтологических параметров у полевок – морфотипический и морфометрический анализ – имеют свои достоинства и недостатки. Первый достаточно прост технически, но в определенной степени субъективен, поскольку дискретность выделяемых морфотипов зачастую условна. Существенна также зависимость от объема выборки – чем он меньше, тем выше вероятность недоучета редких вариаций. Количественный анализ достаточно трудоемок, но позволяет учсть непрерывность варьирования признаков и избежать субъективности. В настоящей работе морфотипический анализ использован для оценки степени усложнения эмалевого контура головки передней непарной петли, а количественные признаки оценивают размеры и конфигурацию  $M_1$ .

### Морфотипический анализ изменчивости $M_1$

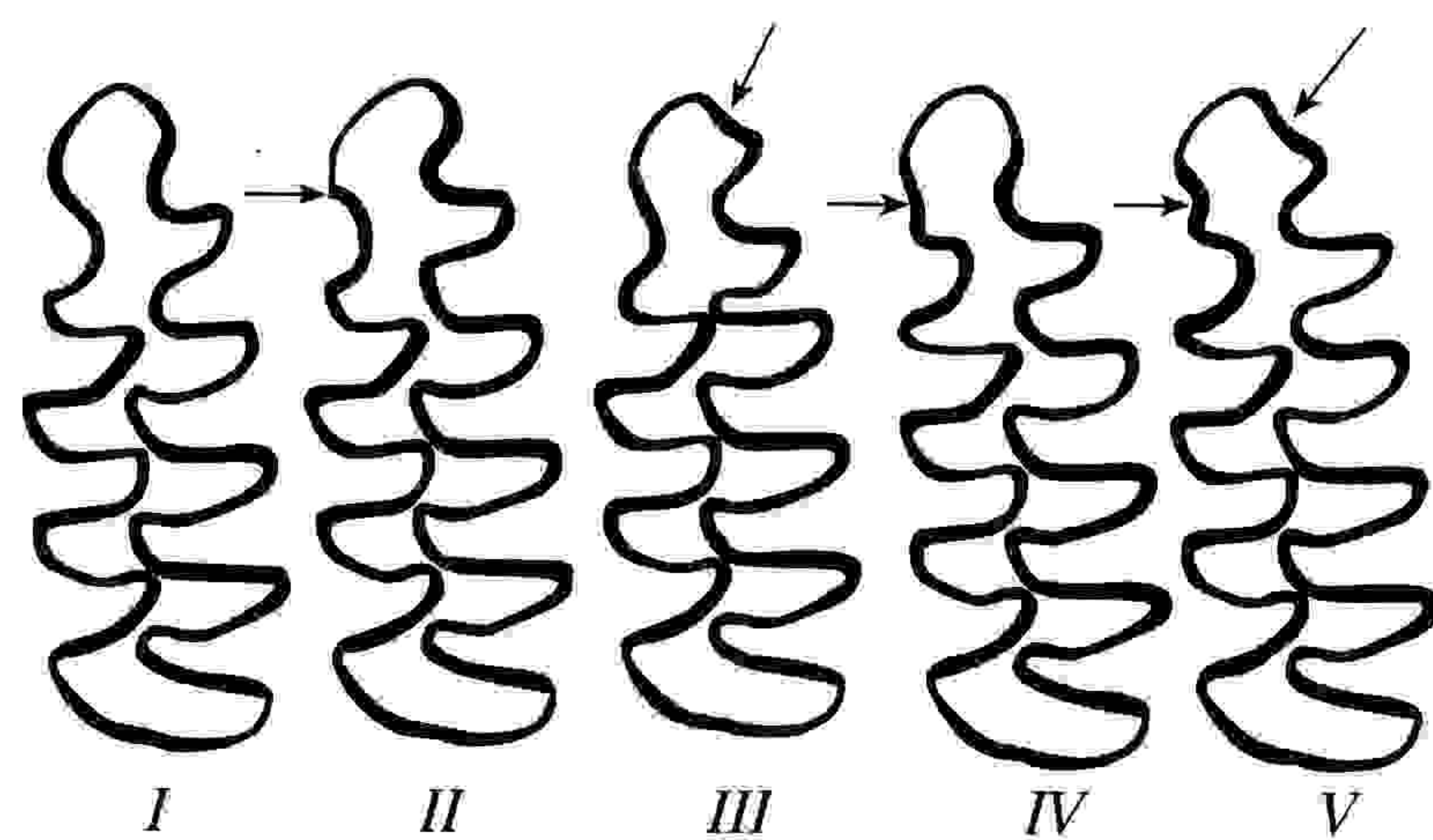
Морфотипическую изменчивость  $M_1$  видов-двойников обыкновенных полевок исследовали без учета географической изменчивости, выборки из разных локалитетов были объединены. Практически весь набор морфотипов, описанных Ереминой (1974), представлен как у *M. arvalis*, так и у *M. rossiaemeridionalis*. В целях снижения фактора субъективности при изучении процентного соотношения вариаций  $M_1$  у каждого вида мы

**Таблица 1.** Возрастной состав и объем выборок обыкновенной и восточноевропейской полевок

Полевка	Место отлова	Число животных		Число $M_1$
		молодые	зрелые	
Обыкновенная	Аркаим	0	5	10
	Байны	53	35	176
	Двуреченск	17	9	52
	Кристалка	0	5	10
	Шаля	4	2	12
	Шигаево	21	11	64
Восточноевропейская	Байны	3	14	34
	Екатеринбург	6	21	54
	Кристалка	5	8	26
	Старобогдановка	1	9	20

сгруппировали исходные 15 морфотипов в соответствии со степенью усложнения эмалевого контура передней непарной петли (ПНП): I группа – ПНП в виде трилистника без следов усложнения в области головки; II – наличие небольшого эмалевого выступа (зубца) с наружной части головки ПНП; III – отчетливо выраженный 6-й внутренний выступающий угол; IV – отчетливо выраженный 5-й наружный выступающий угол; V – имеются как 6-й наружный, так и 5-й внутренний выступающие углы (рис. 3).

По соотношению частот выделенных нами групп морфотипов между рассматриваемыми видами в целом наблюдаются достоверные различия ( $\chi^2 = 46.9$ ,  $df = 4$ ,  $P = 0.0013$ ). Преобладающим морфотипом у обоих видов является  $M_1$  без следов усложнения головки ПНП (рис. 3, I), однако у *M. rossiaemeridionalis* его доля в целом ниже, чем



**Рис. 3.** Морфотипы жевательной поверхности  $M_1$  полевок группы *Microtus arvalis* Уральского региона. Стрелками показаны места усложнения эмалевого контура головки передней непарной петли. I–V – морфотипы (см. текст).

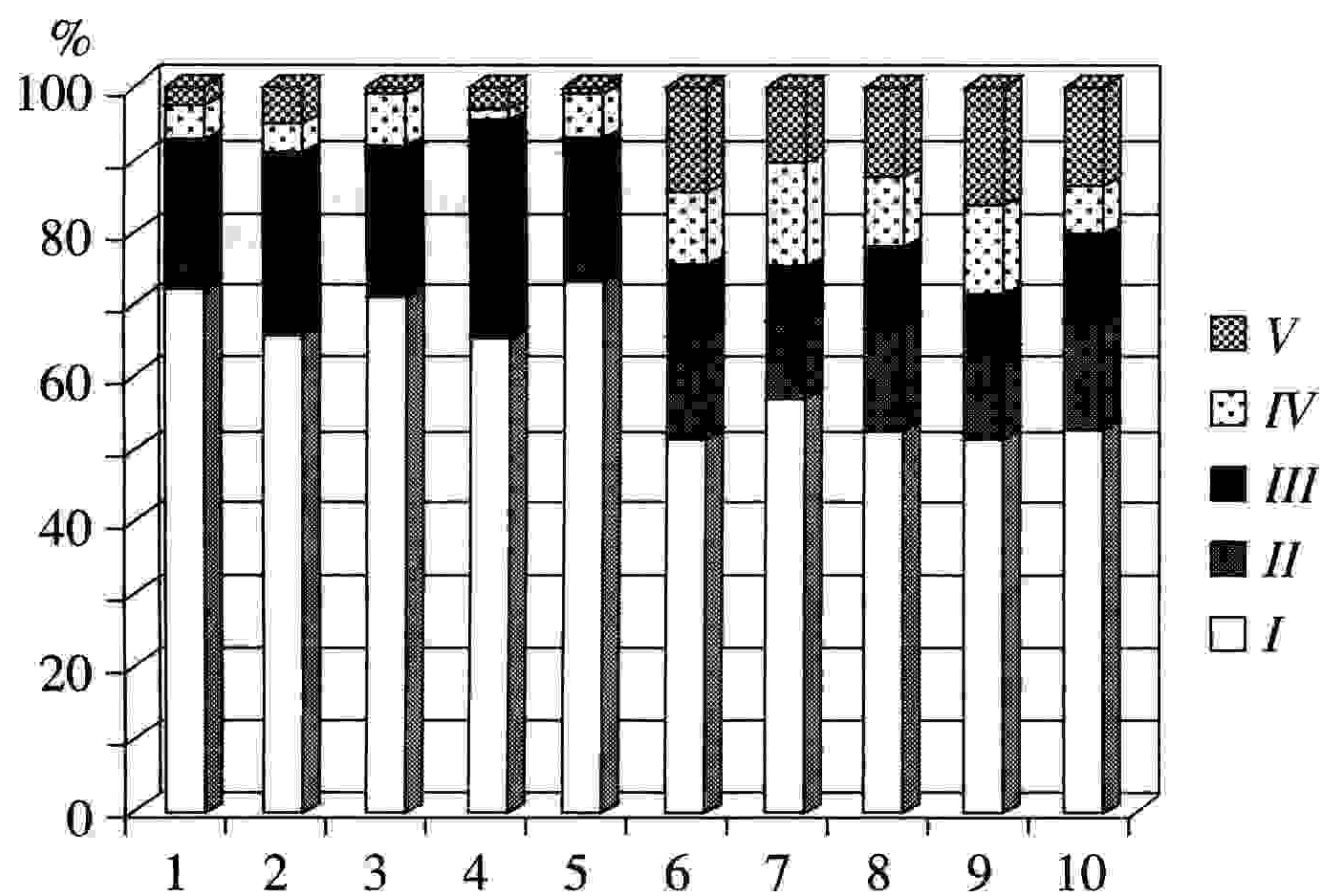


Рис. 4. Соотношение морфотипов  $M_1$  у обыкновенной (1–5) и восточноевропейской (6–10) полевок (выборки из разных локалитетов объединены). 1, 6 – вся выборка; 2, 7 – молодые особи; 3, 8 – зрелые особи; 4, 9 – самцы; 5, 10 – самки. Номера морфотипов – см. рис. 3.

у *M. arvalis* (52 и 72.4% соответственно). Доля морфотипа II у рассматриваемых видов различается незначительно (14% у *M. rossiaemeridionalis* и 18.4% у *M. arvalis*), тогда как наличие дополнительных выступающих углов в области головки ПНП (морфотипы III–V) у восточноевропейской полевки встречается чаще, чем у обыкновенной (34 и 9.2% соответственно). Увеличение доли

Таблица 2. Вклады одонтометрических признаков  $M_1$  обыкновенной и восточноевропейской полевок в главные компоненты (без учета возраста животных)

Номер признака	Главная компонента				
	1	2	3	4	5
1	-0.87	-0.15	0.08	-0.02	-0.14
2	-0.67	-0.35	0.06	0.24	0.16
3	-0.86	0.24	0.13	-0.10	-0.23
4	-0.57	0.06	0.20	0.42	0.03
5	-0.37	-0.47	-0.35	-0.41	0.32
6	-0.31	-0.74	-0.42	0.21	-0.12
7	-0.87	0.20	0.08	0.19	0.17
8	-0.85	0.26	0.06	-0.16	-0.17
9	-0.64	0.46	-0.09	-0.34	-0.08
10	0.03	0.05	-0.25	-0.60	0.02
11	0.51	-0.57	0.50	-0.19	-0.10
12	0.28	0.13	0.80	-0.38	-0.03
13	-0.24	-0.78	-0.02	-0.35	0.17
14	-0.04	-0.57	0.25	0.31	-0.55
15	-0.66	-0.31	0.45	-0.31	0.05
16	-0.08	-0.04	0.42	0.33	0.65

морфотипов III–V у восточноевропейской полевки по сравнению с обыкновенной прослеживается как в пределах совокупных выборок (рис. 4, 1, 6), так и для животных разных возрастных классов (рис. 4, 2, 3, 7, 8), а также для самцов и самок (рис. 4, 4, 5, 9, 10).

Таким образом, для *M. rossiaemeridionalis* наблюдается тенденция к увеличению доли зубов со следами усложнения эмалевого контура головки ПНП. Обнаруженные различия в соотношении долей разных морфотипов могут свидетельствовать о тенденции к дивергенции морфологических характеристик  $M_1$  исследуемых видов, и морфотипический анализ может быть полезен при сравнении выборок достаточного объема. Однако морфотипические характеристики  $M_1$  не могут быть использованы для таксономической идентификации видов-двойников обыкновенных полевок, так как видоспецифичных вариантов строения этого зуба у обыкновенной и восточноевропейской полевок не выявлено.

#### Оценка одонтометрических параметров

Анализ конфигурации и размеров жевательной поверхности  $M_1$  проводили с использованием 16 мерных признаков (рис. 2).

Проявление полового диморфизма исследовано для объединенных выборок каждого вида как по отдельным признакам с помощью  $t$ -критерия Стьюдента, так и по всему комплексу промеров с использованием  $T^2$ -критерия Хотеллинга. Достоверных половых различий в строении  $M_1$  у обыкновенной полевки не выявлено ( $T^2 = 20.78$ ,  $F(16.249) = 1.225$ ,  $P = 0.249$ ). Для восточноевропейской полевки гипотеза об отсутствии различий между самцами и самками отверглась по признакам 1 ( $P = 0.005$ ) и 11 ( $P = 0.024$ ). В то же время результаты многомерного анализа позволяют считать, что в целом половой диморфизм одонтологических признаков у восточноевропейской полевки проявляется незначительно ( $T^2 = 28.57$ ;  $F(16.121) = 1.589$ ,  $P = 0.082$ ).

Для выявления сходно варьирующих признаков и оценки взаимосвязи между ними был применен метод главных компонент (Ким и др., 1989). На основании критерия собственных чисел выделяется не более 5 главных компонент (ГК), на долю которых приходится 77% общей дисперсии (табл. 2).

Первая ГК (32.5% дисперсии) отражает изменчивость общих размеров жевательной поверхности зуба. Остальные главные компоненты представляют собой векторы формы. Так, в направлении второй ГК (16.8% дисперсии) усиливается сужение шейки ПНП при уменьшении отклонения внутренней части головки ПНП от основной оси. В целом в направлении этой ГК усиливается

тенденция к образованию морфотипа *forma maskii*. В направлении третьей ГК (11.2% дисперсии) усиливается степень отклонения ПНП от основной оси. В четвертую ГК (9.9%) наибольший вклад вносит промер 10, характеризующий "развернутость" головки ПНП. Пятая ГК (6.6%) отражает смещение элементов головки ПНП вдоль основной оси.

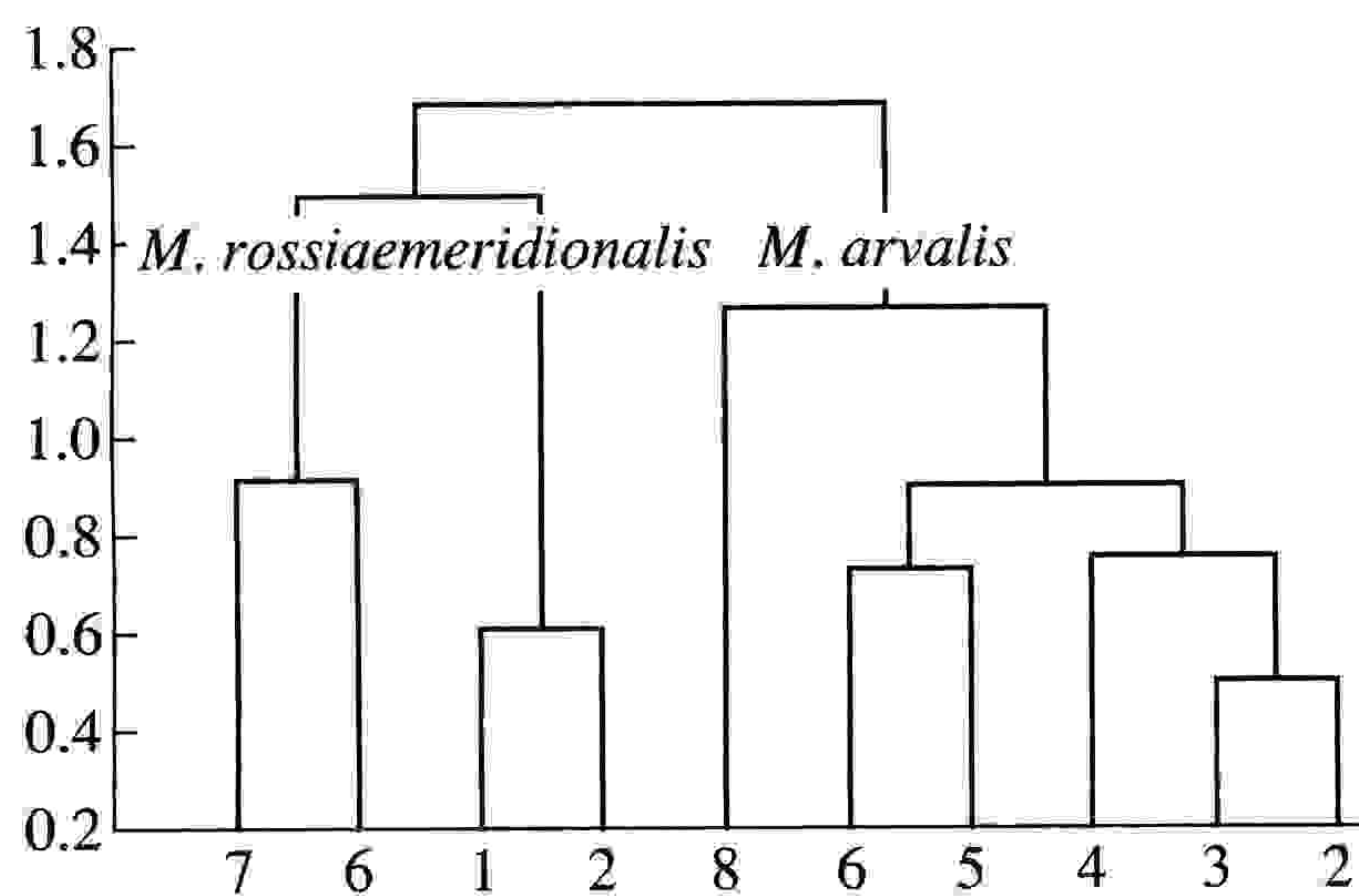
Для представителей второго возрастного класса выделяются 6 главных компонент, объясняющих 82.5% совокупной дисперсии. В целом главные компоненты, вычисленные для II возрастного класса, могут быть интерпретированы так же, как и для совокупной выборки: первая ГК соответствует размерам жевательной поверхности  $M_1$ , остальные – особенностям конфигурации передней непарной петли (табл. 3). Дисперсия в направлении первой (29.1%) и второй (16.02%) ГК, вычисленных для II возрастного класса, снижается по сравнению с совокупной выборкой, что свидетельствует о возрастной изменчивости формирующих эти компоненты признаков. Доля дисперсии, соответствующей третьей, четвертой и шестой главным компонентам, несколько возрастает и составляет соответственно 12.7, 10.0, 8.1 и 6.5%.

Опыт использования метода главных компонент и факторного анализа в биологических исследованиях показал, что координаты объектов в пространстве факторного поля можно рассматривать как новые виртуальные суперпризнаки (Blackith, Reyment, 1971). Для 10 выборок двух рассматриваемых видов (как без учета возраста, так и отдельно для II возрастного класса) были вычислены средние значения главных компонент, которые затем были использованы в кластерном анализе с целью классификации имеющихся выборок по степени сходства (Ким, Мьюллер, 1989).

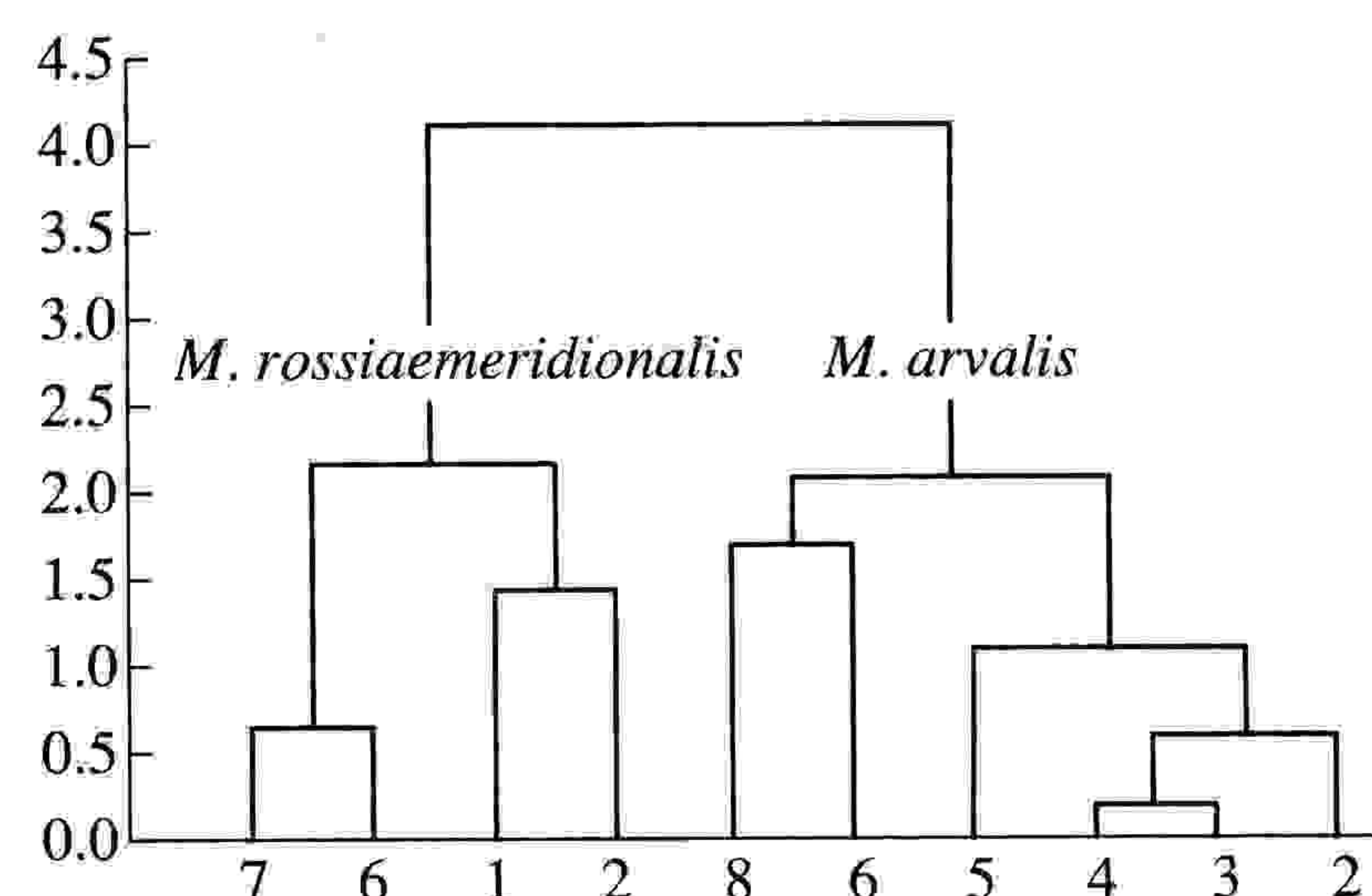
**Таблица 3.** Вклады одонтометрических признаков  $M_1$  обыкновенной и восточноевропейской полевок в главные компоненты (II возрастной класс)

Номер признака	Главная компонента					
	1	2	3	4	5	6
1	0.76	-0.39	-0.08	0.09	0.11	-0.11
2	0.38	-0.31	-0.19	0.53	-0.29	0.38
3	0.90	-0.08	-0.05	-0.07	0.23	-0.10
4	0.58	0.06	-0.22	0.38	-0.04	0.40
5	0.01	-0.59	0.36	-0.25	-0.08	0.40
6	-0.16	-0.66	0.58	0.23	-0.01	-0.16
7	0.84	-0.01	0.02	0.19	-0.18	-0.21
8	0.88	-0.13	-0.01	-0.17	0.16	-0.12
9	0.73	0.06	0.10	-0.45	0.08	-0.08
10	0.01	-0.07	0.15	-0.64	-0.34	-0.08
11	-0.66	-0.44	-0.49	-0.01	0.12	-0.05
12	-0.13	-0.07	-0.87	-0.28	0.19	0.08
13	-0.26	-0.84	0.01	-0.17	-0.06	0.12
14	-0.15	-0.46	-0.05	0.29	0.59	-0.38
15	0.34	-0.47	-0.47	-0.22	-0.37	-0.08
16	-0.15	-0.04	-0.20	0.27	-0.64	-0.55

Для совокупной выборки (без учета возраста) применение различных методов кластеризации – одиночной связи, полной связи, метода Уорда, UPGMA – приводит к сходным результатам: выборки группируются в два кластера в соответствии с видовой принадлежностью животных. Внутри кластера восточноевропейской полевки выборки объединены в соответствии с зональной приуроченностью мест отлова животных – отдельно из степной и южнотаежной зоны. Выборки обыкновенной полевки группируются по-разному, в зависимости от метода кластеризации,



**Рис. 5.** Дендрограмма сходства одонтологических признаков видов-двойников обыкновенных полевок Уральского региона без учета возраста животных (1–8 – см. рис. 1).



**Рис. 6.** Дендрограмма сходства одонтологических признаков взрослых особей видов-двойников обыкновенных полевок (1–8 – см. рис. 1).

**Таблица 4.** Морфометрические характеристики жевательной поверхности первого нижнего коренного зуба взрослых особей видов-двойников обыкновенных полевок

Признак	<i>M. arvalis</i> ( $\bar{X} \pm SD$ )	P	<i>M. rossiaemeridionalis</i> ( $\bar{X} \pm SD$ )
1*	2.66 ± 0.14	xx	2.72 ± 0.10 ( $\delta$ 2.67; $\varphi$ 2.77)
2	1.01 ± 0.05		1.00 ± 0.04
3	0.92 ± 0.08	xxx	0.99 ± 0.06
4	0.83 ± 0.04	x	0.85 ± 0.04
	0.24 ± 0.03		0.24 ± 0.03
6	0.25 ± 0.05		0.26 ± 0.04
7	0.52 ± 0.06	xxx	0.58 ± 0.05
8	0.47 ± 0.07	xxx	0.52 ± 0.04
9	0.21 ± 0.05	xxx	0.27 ± 0.06
10	64.6 ± 10.2		64.1 ± 10.6
11*	-0.02 ± 0.05	xxx	-0.10 ± 0.05 ( $\delta$ -0.09; $\varphi$ -0.11)
12	0.04 ± 0.04	xxx	0.0 ± 0.04
13	0.21 ± 0.03	xxx	0.19 ± 0.03
14	0.24 ± 0.05		0.23 ± 0.04
15	0.43 ± 0.05	x	0.41 ± 0.04
16	0.19 ± 0.07	x	0.16 ± 0.06

Примечание. Достоверность различий: x –  $P < 0.01$ , xx –  $P < 0.001$ , xxx –  $P < 0.0001$ .

\* Признаки, по которым наблюдались различия между самцами и самками у восточноевропейской полевки.

**Таблица 5.** Коэффициенты линейной дискриминантной функции и точность диагностики видов-двойников обыкновенных полевок по комплексу промеров  $M_1$

Коэффициент	Возрастная группа		В целом
	I	II	
a2		-6.11	
a9	10.17	6.01	9.53
a11	-9.36	-13.08	-9.37
a12	-11.07	-13.01	-13.81
a13	5.87	-7.72	-3.16
a14		4.84	3.29
a16	-6.89		-2.26
Константа (a0)	-1.78	4.59	-1.93
Центроиды:			
<i>M. arvalis</i>	-0.32	-1.00	-0.66
<i>M. rossiaemeridionalis</i>	1.50	1.05	1.23
Точность диагноза, %:			
<i>M. arvalis</i>	85.6	87.6	84.5
<i>M. rossiaemeridionalis</i>	75.0	87.0	80.9

Примечание. Номера коэффициентов соответствуют номерам признаков.

что не позволяет говорить о существовании закономерностей, связанных с географической изменчивостью. На рис. 5 представлена дендрограмма, построенная с использованием метода невзвешенных парногрупповых средних (UPGMA), для которого получен наивысший коэффициент кофенетической корреляции между исходной матрицей дистанций и матрицей кофенетических дистанций после кластирования ( $r = 0.84$ ). Сходные результаты, также мало зависящие от метода кластеризации, получены и для животных II возрастного класса (рис. 6).

Таким образом, полученные данные свидетельствуют о том, что по строению переднего нижнего коренного зуба между *M. arvalis* и *M. rossiaemeridionalis* наблюдаются различия, уровень которых превышает различия между выборками одного вида из географически удаленных точек отрова, однако объем рассматриваемых выборок не позволяет с уверенностью говорить о закономерностях географической изменчивости обыкновенной и восточноевропейской полевок.

#### Диагностическое значение одонтометрических признаков

Для оценки возможности таксономической идентификации видов-двойников *M. arvalis* и *M. rossiaemeridionalis* по одонтологическим признакам выборки из разных локалитетов были объединены.

Результаты сравнения зрелых особей двух видов по отдельным признакам с помощью *t*-критерия Стьюдента приведены в табл. 4. Несмотря на статистически значимые различия по многим признакам, одонтометрические параметры видов-двойников в значительной мере перекрываются. Для того чтобы оценить ценность комплекса промеров  $M_1$  для таксономической идентификации обыкновенных полевок, был использован шаговый дискриминантный анализ (Клекка, 1989).

Дискриминантные функции (ДФ), вычисленные для I и II возрастных групп, а также без учета возраста животных, незначительно различаются по набору дискриминантных переменных и разделяют обыкновенную и восточноевропейскую полевку с различной точностью (табл. 5). Наиболее высокая доля верной диагностики, приблизительно одинаковая для обоих видов (87.0–87.6%), наблюдается в группе зрелых особей. Точность диагноза молодых животных в среднем ниже (80.3%) за счет снижения доли верной идентификации восточноевропейской полевки (75%). Различия в точности диагностики молодых и зрелых животных могут быть связаны с тенденцией к усилению межвидовых различий в строении  $M_1$  с возрастом, однако недостаток животных I возрастного класса в выборках *M. rossiaemeridionalis*

(всего 15 особей) не позволяет делать однозначных выводов.

Для особей II возрастного класса и для совокупной выборки (без учета возраста животных) была проведена дополнительная проверка качества дискриминации путем исключения отдельных выборок из обучающих групп с последующей их диагностикой по вычисленным значениям дискриминантной функции. Точность прогноза для "нерасклассифицированных" экземпляров наиболее высока в группе зрелых животных – 86% для обыкновенной и 85% для восточноевропейской полевки. Верная идентификация "нерасклассифицированных" экземпляров без учета возраста животных составила 80% для обыкновенной и 76% для восточноевропейской полевки.

Таким образом, результаты диагностики видов-двойников обыкновенных полевок, проведенной на основании морфометрической оценки  $M_1$ , согласуются с данными, полученными при использовании комплексов экстерьерных, крациометрических и отдельных зубных признаков, позволяющих дифференцировать *M. arvalis* и *M. rossiaemeridionalis* с надежностью 73–84% (Мейер, Дитятеv, 1989; Малыгин и др., 1996). Это позволяет утверждать, что одонтологические признаки не менее информативны при изучении морфологической дифференциации видов-двойников обыкновенных полевок, чем традиционные экстерьерные и крациальные параметры.

## ВЫВОДЫ

1. Анализ характеристик первых коренных зубов обыкновенной и восточноевропейской полевок Уральского региона выявил наличие морфологической дифференциации между видами как по морфотипическим, так и по морфометрическим параметрам.

2. У обоих видов встречены все варианты строения  $M_1$ , описанные для *M. arvalis* sensu lato (Еремина, 1978). В процентном соотношении различных вариаций выявлены межвидовые различия: доля усложненных морфотипов выше у восточноевропейской полевки.

3. Обнаруженные различия в соотношении долей разных морфотипов свидетельствуют о дивергенции морфологических характеристик  $M_1$  исследуемых видов, однако не могут быть использованы для таксономической идентификации, так как у обыкновенной и восточноевропейской полевок не выявлено видоспецифичных вариантов строения этого зуба.

4. Применение методов многомерного факторного и кластерного анализов по комплексу промеров  $M_1$  позволило выявить межвидовые различия характеристик зубов обыкновенной и восточноевропейской полевок, уровень которых

превышает различия между выборками одного вида из географически удаленных один от другого локалитетов.

5. Шаговый дискриминантный анализ может быть использован для диагностики *M. arvalis*, форма "obscitus" и *M. rossiaemeridionalis* по комплексу одонтометрических характеристик  $M_1$  с точностью 75–87%, что указывает на перспективность использования тонкой морфологии зубной системы для подобных задач наряду с традиционными экстерьерными и крациальными параметрами.

## БЛАГОДАРНОСТИ

Авторы выражают искреннюю признательность К.И. Бердюгину и А.Г. Васильеву за ценные рекомендации, а также Т.В. Струковой за помочь при подготовке рукописи к печати.

Работа выполнена при поддержке РФФИ (01-04-96408).

## СПИСОК ЛИТЕРАТУРЫ

- Агаджанян А.К., Яценко В.Н., 1984. Филогенетические связи полевок Северной Евразии // Проблемы изменчивости и филогении млекопитающих (Исследования по фауне СССР). М.: Изд-во Моск. ун-та. С. 135–190.
- Башенина Н.В., 1953. К вопросу об определении возраста обыкновенной полевки (*Microtus arvalis* Pall.) // Зоол. журн. Т. XXXII. Вып. 4. С. 730–743.
- Гилева Э.А., Большаков В.Н., Полявина О.В., Чепраков М.И., 2000. Обыкновенная и восточноевропейская полевки на Урале: гибридизация в природе // Докл. РАН. Т. 370. № 1. С. 134–137.
- Горчаковский П.Л. 1968. Растительность // Урал и Предуралье. М.: Наука. С. 211–261.
- Громов И.М., Поляков И.Я., 1977. Fauna СССР. Млекопитающие. Полевки (Microtinae). Л.: Наука. Т. 3. Вып. 8. 504 с.
- Доброхотов Б.П., Малыгин В.М., 1982. Применение электрофореза гемоглобинов для идентификации серых полевок группы *Microtus arvalis* (Rodentia, Cricetidae) // Зоол. журн. Т. 61. Вып. 3. С. 436–439.
- Еремина И.В., 1974. Полиморфизм рисунка жевательной поверхности коренных зубов у обыкновенной полевки // Физиологическая и популяционная экология животных. Межвузовский научный сборник. Вып. 2(4). Саратов: Изд-во Сарат. ун-та. С. 77–91.
- Ким Дж.-О, Мьюллер Ч.У., 1989. Факторный анализ: статистические методы и практические вопросы // Факторный, дискриминантный и кластерный анализ. М.: Финансы и статистика. С. 5–77.
- Клекка У.Р., 1989. Дискриминантный анализ // Факторный, дискриминантный и кластерный анализ. М.: Финансы и статистика. С. 78–138.
- Кочев В.А., 1986. Видовые критерии моляров  $M_1$  *Microtus agrestis*, *M. arvalis*, *M. oeconomus*, *M. gregalis*,

- M. middendorffii*, *M. hyperboreus* // Вестн. зоол. № 3. С. 40–45.
- Ларина Н.И., Лапиев В.А., 1974. К методике выделения возрастных групп у некорнезубых полевок // Физиологическая и популяционная экология животных. Межвузовский научный сборник. Вып. 2(4). Саратов: Изд-во Сарат. ун-та. С. 92–97.
- Малыгин В.М., 1983. Систематика обыкновенных полевок. М.: Наука. 207 с.
- Малыгин В.М., Пантелейчук Сантуш Луиш Т.М., 1996. Морфологические критерии определения гомотипов таксонов видов обыкновенных полевок (*Microtus*, Rodentia, Mammalia) // Докл. РАН. Т. 348. № 2. С. 282–286.
- Мейер М.Н., Дитятаев А.Э., 1989. Применение линейного дискриминантного анализа в диагностике видов-двойников обыкновенной полевки (Rodentia, *Microtus*) // Зоол. журн. Т. LXVIII. Вып. 7. С. 119–129.
- Мейер М.Н., Орлов В.Н., Схоль Е.Д., 1969. Использование данных кариологического, физиологического и цитофизиологического анализов для выделения нового вида у грызунов (Rodentia, Mammalia) // Докл. АН СССР. Т. 188. № 6. С. 1411–1414.
- Обыкновенная полевка: виды-двойники, 1994. Ред. В.Е. Соколов, Н.В. Башенина. М.: Наука. 432 с.
- Павлинов И.Я., 1999. Анализ изменчивости формы третьего верхнего коренного у скальных полевок рода *Alticola* (Cricetidae) методами геометрической морфометрии // Зоол. журн. Т. 78. № 1. С. 78–83. – 2001. Геометрическая морфометрия – новый аналитический подход к сравнению компьютерных образов // Информационные и коммуникационные ресурсы в зоологии и ботанике. Тез. 2-го междунар. симп. С.-Петербург. С. 41–91.
- Смирнов Н.Г., Большаков В.Н., Бородин А.В., 1986. Плейстоценовые грызуны Севера Западной Сибири. М.: Наука. 144 с.
- Blakith R.E., Reymont R.A., 1971. Multivariate Morphometrics. L., N.-Y.: Academic Press. 412 p.
- Chaline J., 1980. Essai de filiation des Campagnols et des Lemmings (Arvicolidae, Rodentia) en zone Holarctique d'après la morphologie dentaire // Palaeovertébrata, Montpellier, Mém. Jubil. R. Lavocat. P. 375–382.
- Dean D., 1996. Three-dimensional data capture and visualization / Eds. Marcus L., Corti M., Loy A., Slice D. Advances in morphometrics. N.-Y., L.: Plenum Press. P. 53–70.
- Rabeder G., 1981. Die Arvicoliden (Rodentia, Mammalia) aus dem älteren Pleistozän von Niederösterreich // Beitr. Paläont. Österr. V. 8. P. 1–373.

## ODONTOLOGICAL FEATURES IN *MICROTUS ARVALIS* S. STR. AND *M. ROSSIAEMERIDIONALIS* FROM THE URAL REGION AND THEIR TAXONOMIC VALUE

E. A. Markova, A. V. Borodin, E. A. Gileva

*Institute of Plant and Animal Ecology, Ural Division, Russian Academy of Sciences, Yekaterinburg 620144, Russia*

Variation of shape and size in 458 molars ( $M_1$ ) of the chromosomal sibling species *Microtus arvalis* and *M. rossiaemeridionalis* was studied from morphotypic and morphometric standpoints. Dental parameters were measured on digital images. All the  $M_1$  morphotypes previously described in *M. arvalis* sensu lato were found in both species. The frequency of more complicated morphotypes is higher in *M. rossiaemeridionalis* (34%) than in *M. arvalis* sensu stricto (9.2%). Sixteen dental characteristics were used to describe size and shape of  $M_1$ . Principal components and cluster analyses revealed the interspecific differences in dental parameters exceeding the inter-population differences in the same species. The stepwise discriminant analysis of the dental characteristics may be used to distinguish *M. arvalis* (*obscurus*) and *M. rossiaemeridionalis* with a precision of 75–87%.